С. Р. МЕСЧЯН, Р. Р. ГААСТЯН

ИССЛЕДОВАНИЕ ПОЛЗУЧЕСТИ ГЛИНИСТОГО ГРУНТА ПРИ СДВИГЕ С УЧЕТОМ ТЕМПЕРАТУРНЫХ ЭФФЕКТОВ

Ползучесть обычного (немералого) групта при сдвиге с учетом наиминя наменяемости его температуры но премени расемотрена и работе [1]. В этой статье приводятся результаты исследования ползучести глины при сдвиге, инполгенного с целью установления влияния температуры на закономерности ползучести, на скорость течения и ковфициент вязкости в одном состоянии ее плотности-илажности.

Для решения поставленной задачи испытаны три серии образцов близпецов третичной глипы (лаб. № 19—69) естественного сложения (табл. 1), отобранной в приереванском районе, при $\sigma_z = 2.0 \ \kappa \Gamma/cm^2$ и трех вначениях ее температуры: $T = +14^\circ$, $+21^\circ$ и $+40^\circ$ C.

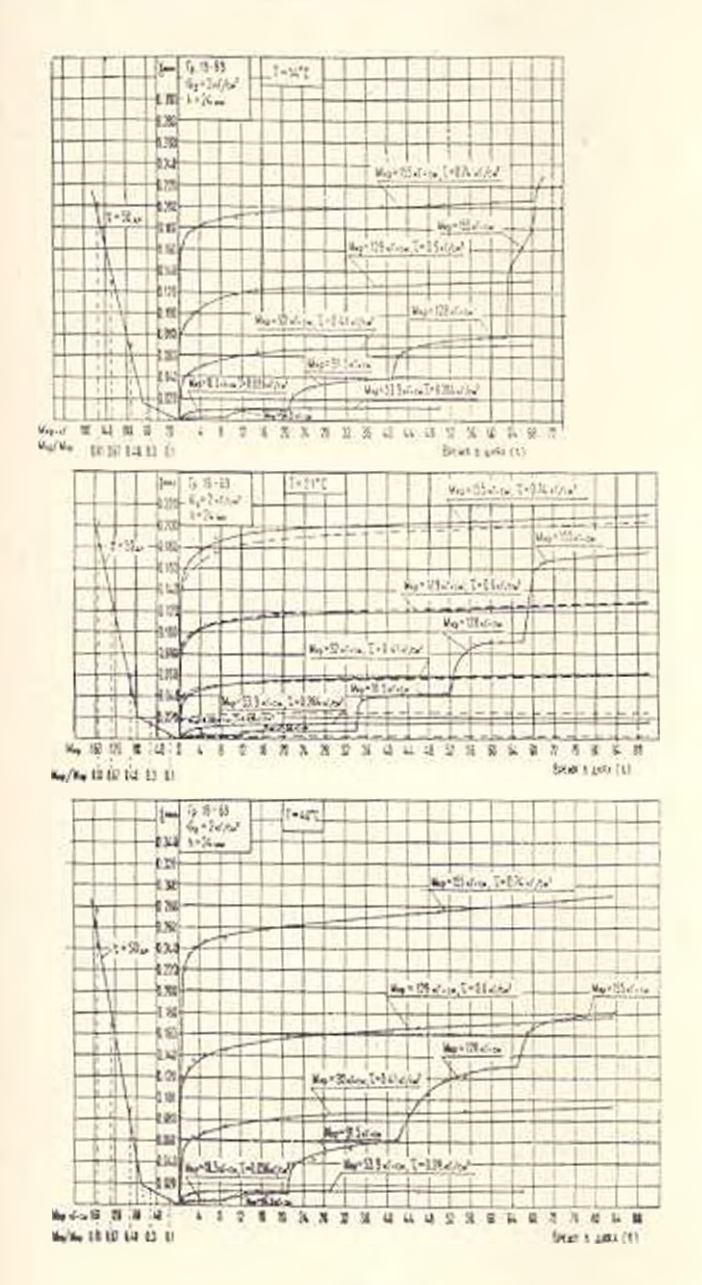
									Tab.	unua 1	
Лаб. № грунта	t.T.a	TC	Bec.	пос	(te)*/,	Пределы пластичности "/«			ом (В)	тости	((0,0)
	Температура	Объемный я	Удельный в (туд), 1/см ³	Естественная плажность (те	Предел текумести (m _r)	предел рас- катываныя (тор)	число плас- тичности (те _{пл})	Консистенции (В)	Коэф. пористости (ед) Степень влажности (Gg)	nic	
19-69	14 21 40	1.93 1.92 1.93	2.62	26.41 26.18 26.79	46.84	25.71	21,13	0.1	0.736	0.969	

Опыты проведены на приборах кручения [2]. Испытаны на кручение кольцевые образцы с наружным диаметром $d_{\perp}=101$ мм. внутренним диаметром $d_{\perp}=50$ и высотой h=24 мм.

С целью достижения одинаковой начальной плотности-илажноств и обеспечения неизменяемости состояния образцов всех серий в процессе кручения, они (до опыта) были подвергнуты предварительному уплотнению постоянным напряжением — 2.0 кг сле и течение 31—11 дней при температуре Т 40 С. Это дало возможность достигнуть наибольшего уплотнения образцов, исключить влияние термоуплотнения и оценить влияние температуры на ползучесть грунта.

При каждов заданной постоянной температуре испытаны шесть пар водонасышенных образцов-близнецов постоянными относительными крутящими моментами $M_{\rm ep}$ $M_{\rm ip}$ 0.1, 0.3, 0.48, 0.67 и 0.81 и ступенчато-возрастающими относительными моментами ($M_{\rm in}$ крутящий мо-

мент; $M_{\rm пр}$ предельный крутящий момент, соотнетствующий предельному сопротивлению грунта слингу). Предельный крутящий момент $(M_{\rm пр})$ определен испытанием образцов-близнацов по стандартной мето-

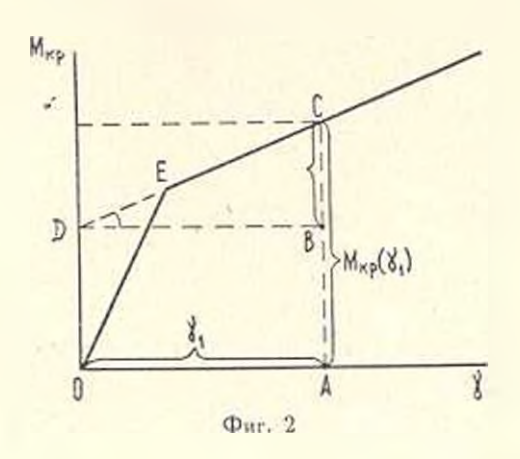


Фил 1

дике—методом медаенного среза. Порядок приложения крутящих моментов до заданной неличины был таким, каким он был при определении $M_{\rm up}$.

Заданная температура образца поддерживалась термостатом типа U8 (ГДР) и ультратермостатами Одесского запода медицинского оборудования с точностью = 0.5 С. В процессе испытания на кручение замерялись как деформации уплотнения, так и сдвига. Деформации сдвига замерялись на наружной окружности кольцевых образцов прогибомерами Максимова с точностью 0.01 мм.

Следует эдесь же отметить, что максимальная дополнительная деформация уплотнения (сжатия) образца в процессе едвига (кручения), за исключением двух-трех случаев, не превышала 0.08 мм. Поэтому можно считать, что благодаря использованному методу преднарительного уплотнения, состояние грунта в процессе кручения не подвергалось изменению.



На фиг. 1 приведены графики трех семейств криных ползучести исследованного грунта, определенных при трех постоянных значениях температуры. На левых частях указанных графиков приведены кривые записимости относительная деформация ползучести сдвига крутящий и относительный крутящий момент для t = 50 дн.

Как и в ранее выполненных работах [2], в зависимости от уровня крутящего момента, кривые полаучести имеют как затухающий ($M_{\rm up}/M_{\rm up}=0.3$), так и незатухающий характер ($M_{\rm kp}/M_{\rm up} \geqslant 0.5$). Кривые зависимости $\gamma = f_{\rm e}(M_{\rm up})$ аппроксимируются ломаной линией, характеризующей упруго-пластическое кручение групта с линейным упрочнением.

Для описания семейсти кривых ползучести и определения параметров ползучести грунта при сдвиге по приложенным к образцам крутящим моментам ($M_{\rm up}$) определены соответствующие им касательные напряжения (τ), действующие на расстоянии $r_{\rm o}$ от центра кольца ($r_{\rm u}$ —таружный радиус кольца). В пределах первого участка ломаной линни касательные напряжения определены из решения упругой задачи по пыражению

$$r_{1} = \frac{2M_{\rm up}}{r_{1}^{4}} r_{2} \tag{1}$$

где г -- внутренний радиус кольцевого образца.

Касательные напряжения, действующие во второй области деформирования, определены из решения задачи кручения нелинейной теории упругости [3]

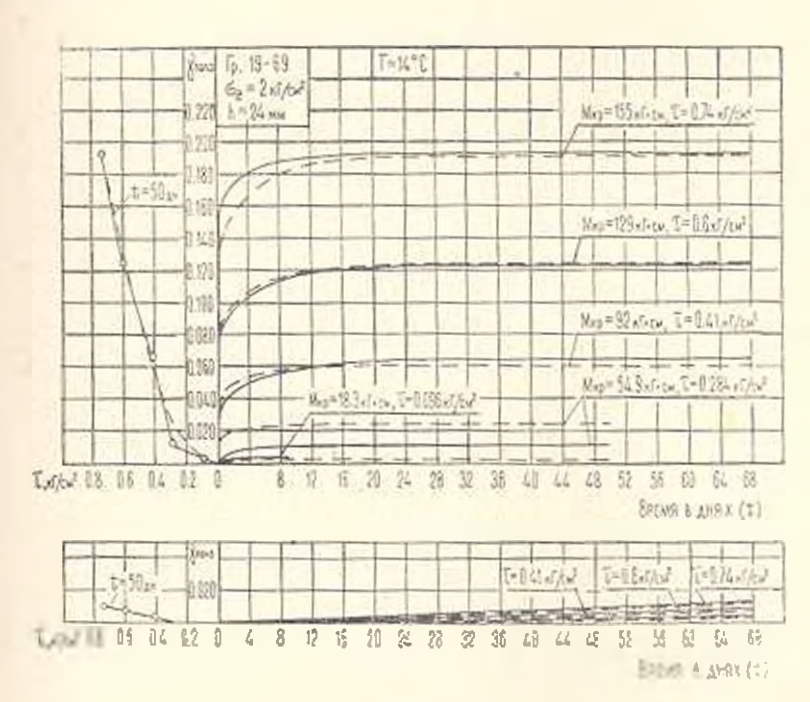
$$-\frac{dM_{\rm ap}}{\sigma_{\rm b}} + 3M_{\rm ap} = 2\pi \left[r_2^3 \tau(r_0) - r_1^3 \tau(r_1) \right] \tag{2}$$

где $\frac{dM_{\mathtt{m}\mathtt{h}}}{dt}$ угол между касательной DC к кривой кручения и осью

В случае кручения сплошного образца $(r_1=0)$ из (2) получим

$$= \frac{1}{2\pi r_2} \left[3M_{\rm sp} - \frac{d}{d_1} \right] \tag{3}$$

В первой области деформирования OE ныражение (2) принимает вид (1).



Фиг. 3

Из выражения (2) следует, что для определения $\tau(r_i)$ надо знать величину τ при r^+ r_i . Величину $\tau(r_i)$ можно, как первое приближение, определить по выражению (1), исходя из условия линейного деформирования грунта при сдвиге. Тогда из (2), учитывая (1), получим

$$\tau = \frac{1}{2\pi r_2^3} \left[3M_{\rm ep} + \tau \frac{dM_{\rm ep}}{d\tau} + \frac{4M_{\rm ep}r_1^4}{r_2^4 - r_2^4} \right] \tag{4}$$

Takinna 2

Учитывая то, что в нашем случає r_1 по сравнению с r_2 мало и, вследствие этого r_1^3 более, чем в десять раз меньше r_2 , с достаточной для практики точностью $1(r_2)$ можно определить и по выражению (3).

Величины касательных напряжений, определенных по выражению (4), приведены на кривых ползучести фиг. 1.

В табл. 2 приведены определенные по выражениям (4) и (3) величины касательных напряжений, соответстнующие приложенным к образцам крутящим моментам. Там же приведены их значения, определенные по ныражению (1) при г₁ . О и г₁ = 0 в предположении линейной записимости между касательными папряжениями и относительными деформациями сдвига.

				полици 2
Относительный крутящий моменя	(M_{in}/M_{in})	0.48	0.67	0.81
Кругашия момент (Мир), кГ.с.и			129	155
dMp di kleu		28	65	91
:(г;) в иГ'см, определенные по решению	по пыражению (4)	0,41	0,60	0.74
полинейной теории упругости	по выражению (3)	0.38	0.56	0.69
$\gamma(r_2)$ is of cm-, outpeakenthise no peweither	по выражению (1)	0,48	0.68	0.81
упругой задачи	то же самое при r ₁ =0	0.46	0.64	0.77

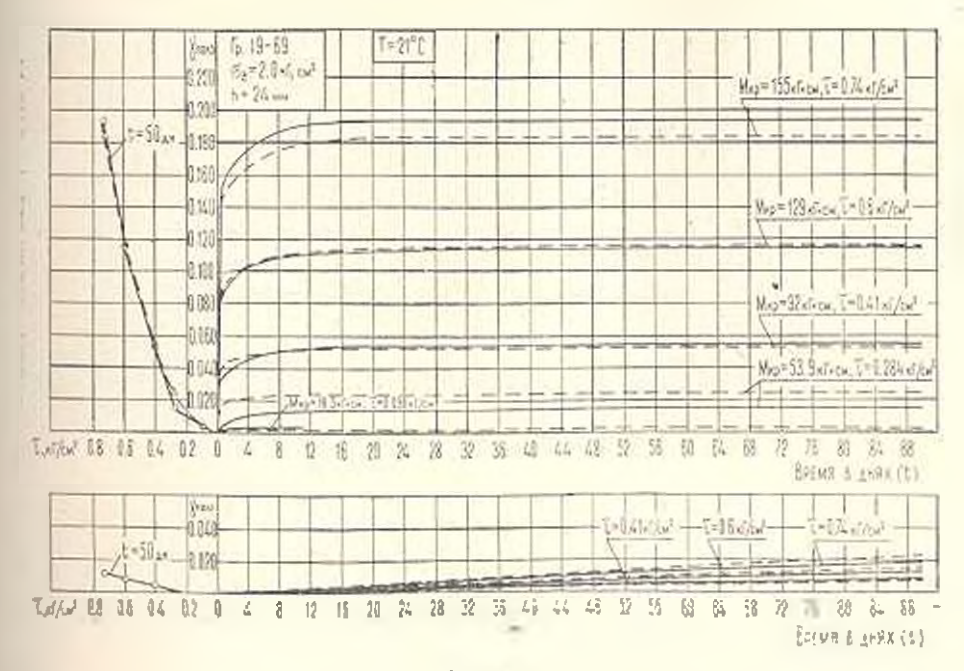
Судя по принеденным в таба. 2 данным, при использовании выражения (3) касательные напряжения, определенные по выражению (4), уменьшаются на 7 — а при использовании выражения (1) увеличиваются до 15 1. Поскольку разброс величии касательных напряжений нахолится в пределах точности эксперимента, можно, с достаточной для практики точностью, касательные напряжения (г., определить по одному из принеденных выше выражения (3), (4) или (1).

Для описания процесса деформирования груптов во времени при сдвиге, следуя Андраде [5], полная относительная деформация сднига (1) разложена на две состанляющие на затухжющие деформации (2), и деформации установиншейся полаучести (течения: (1))

$$\gamma(t) = \gamma_3(t) - \gamma_7(t) \tag{5}$$

Графики семейств кривых ползучести затухающих и незатухающих относительных деформаций сдвига приведены на фиг. 3, 4 и 5. На указанных графиках экспериментальные кривые показаны сплошными линиями. На леных частях тех же графиков приведены кривые занисимости касательное напряжение — относительная деформация сдвига. Кривые зависимости касательное напряжение — относительная скорость деформации течения $v = f(\tau)$ показаны на фиг. 6.

Как и в ранее выполненных работах [6, 7, 9, 2], зависимость $v=f_{\rm c}(\tau)$ является линейной и может быть аппроксимиронана известным уравнением Шведона-Бингама.



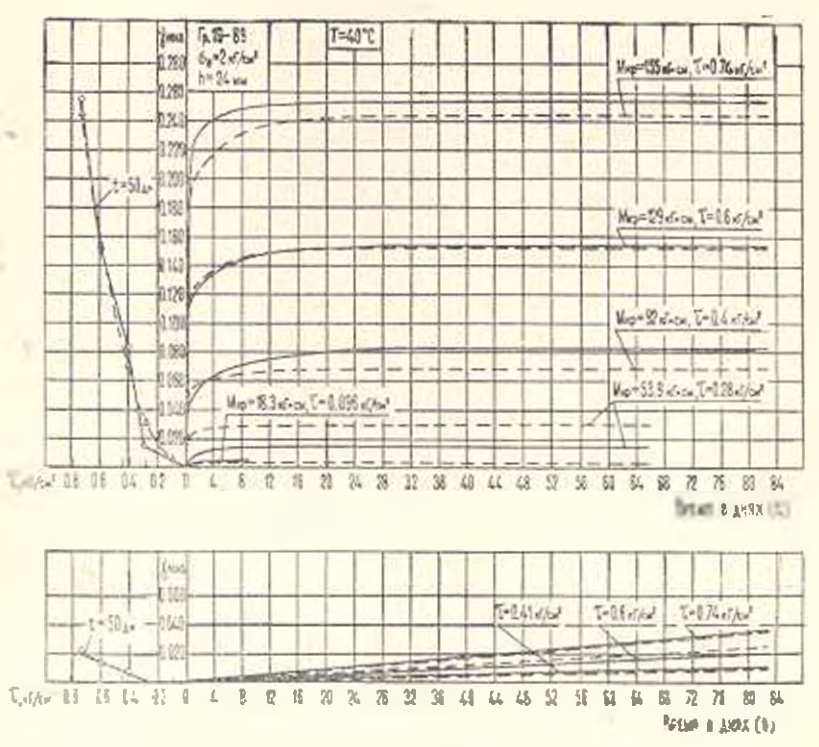
Фис. 1

Сопоставление семейств кривых ползучести, определенных при трех различных значениях температуры групта T=14, 21 и 40 С фиг. 3, 4, 5) поназывает, что затухающие деформации ползучести мало отличаются друг от друга. Их максимальное расхождение не превышает 20° . Это обусловлено тем, что все испытанные образцы групта обладали одинаковой начальной плотностью-влажностью и позтому влияние температуры в основном отразилось на второй части леформации—деформации течения. Как будет показано ниже, изменение температуры в рассматриваемых нами пределах принело к изменению скорости течения болсе, чем в два раза.

Семейства кривых затухающих деформаций ползучести описаны выражением вида [8] *

$$\gamma_3(t) = \omega_3(t - \theta, T) F(\tau, T) \tag{6}$$

где ω_3 $(t-\theta,T)$ —зависящая от температуры мера затухающей деформации ползучести; $F(\tau,T)$ —зависящая от температуры функция напряжения, учитывающая нелипейную зависимость между касательными напряжениями и относительными деформациями слиига; t—время; θ —текущая координата времени (момент приложения касательного напряжения).



Фиг. 5

Мера ползучести (t-1, 7) при (t-1) 1 дн определена по следующему экспоненциальному выражению [2]:

$$A(T) = A(T) [1 - e^{-t_0(T)[(t-6)^{-1}]}]$$
(7)

а функция напряжения-по степенной зависимости

$$F(z, T) = z^{n(T)} \tag{8}$$

где C(T)—зависящая от температуры предельная мера полаучести, A(T)—зависящая от температуры деформация при $t-\theta=1$ ди; $\gamma_1(T)$ и $\gamma_2(T)$ определяемые из опыта функции.

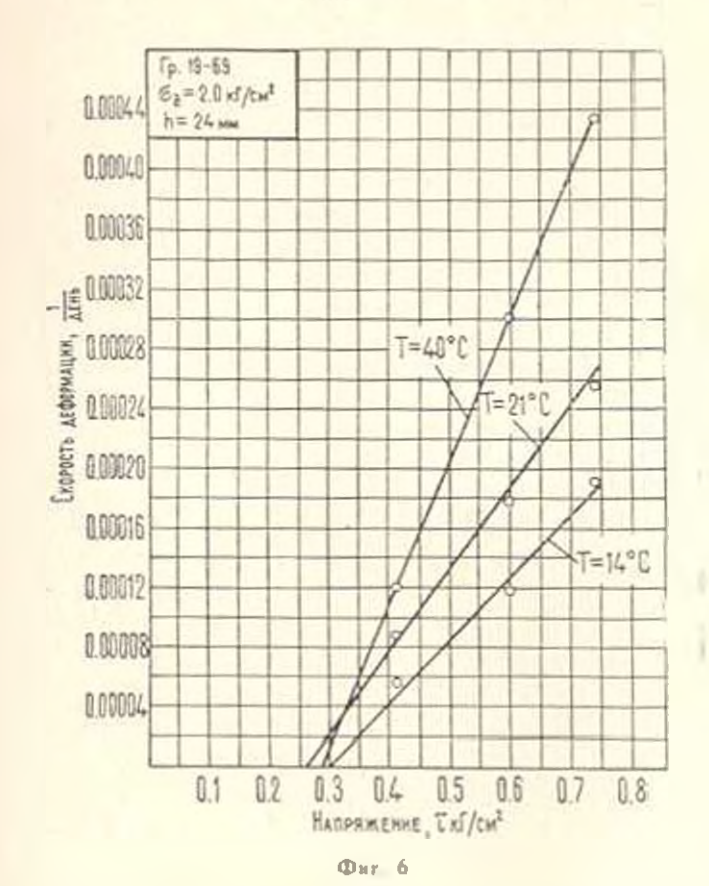
Определейные из описания семейств кривых затухающих деформаций ползучести параметры выражений (7) и (8) приведены в табл. 3, а результаты описания кривых на графиках фиг. За, 4а и 5а приведеныя пунктирными линиями.

				Tab.	лица З
Температура групта (7). С	A	С	71	Ĩ2	n
14 21 40 Средине виачения параметров	0.28 0.23 0.38 0.31	0.37 0.34 0.47 0.39	10 10 10 10	0.19 0.19 0.18 0.19	2.12 2.10 2.20 2.14

Англиз даниых, приведенных в табл. 3, показывает, что γ_1 , γ_2 и п практически не зависят от температуры. С достаточной для практики точностью (± 15) можно считать также, что A и C также не зависят от температуры. Тогда выражения (7) и (8) примут следующий вид:

$$\mathbf{w}_{3}(t-b) = A[1-e^{-t}] + (C-A)[1-e^{-t}]$$
 (7a)

$$F(z) = z^n$$
 (8a)



Семейства криных установившейся ползучести (течения), приведенных на фиг. 3, 4 и 5, при линейной зависимости между касптельными напряжениями и относительными деформациями течения в общем случае могут быть описаны следующими выражениями [2]:

6 Изпестия АН Арминской ССР, Механика, № 2.

$$\gamma_{\tau}(t) = q(T)(t - \theta)[\tau - \tau_{\theta}(T)] \tag{9}$$

$$\gamma_{\tau}(t) = \frac{\tau - \tau_0(T)}{\gamma(T)} (t - \theta) \tag{10}$$

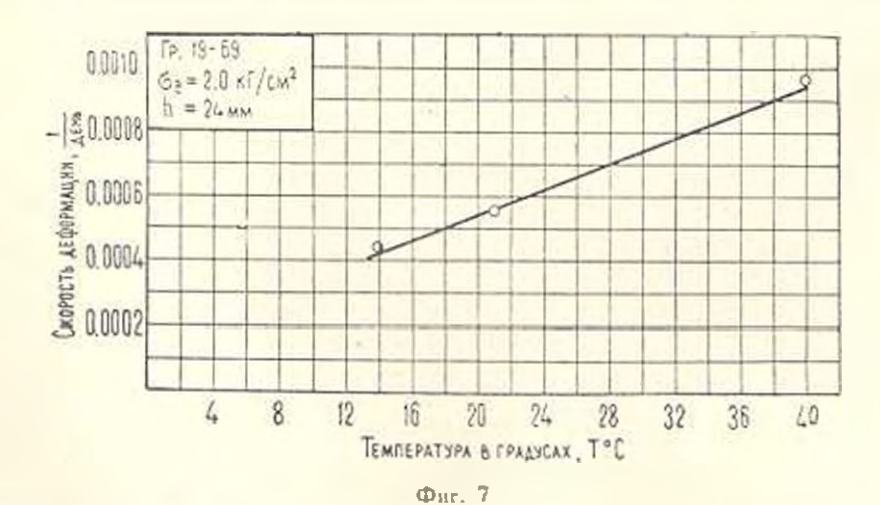
где q(T) зависящая от температуры относительная скорость течения при $\tau - \tau_0(T) = 1$; $\tau_0(T)$ — зависящее от температуры предельное напряжение сдвига; $\tau_1(T)$ — зависящий от температуры коэффициент вязкости $\left[\tau_1(T) = \frac{1}{q(T)}\right]$.

Величины относительной скорости течения (q) и предельного напряжения сдвига (д), определенные описанием семейств кривых установившейся ползучести (фиг. 36, 46 и 56), приведены в табл. 4. В этой же таблице приведены значения коэффициента пязкости (д), определенные для трех различных значений температуры.

Таблица 4

Температура групта			3			
$T_{\text{емпература}}$ групта (T) , C	q. 1; день	701 KΓ'C.N2	нГ см² день	nyas		
14 21 40	0,000441 0,000550 0,000963	0,3 0,26 0,28	2268 1818 1038	1.96-1014 1.57-1014 0.9-1014		

Данные табл. 4 показывают, что относительная скорость течения и коэффициент вязкости и энячительной степени зависят от температуры. При изменении температуры в пределах -14 C-40 C эти ве-



личины изменяются примерно в 2.2 р:зз. В то же время при обеснечении постоянства илотности-влажности грунта в процессе слвига, с достаточной для практики точностью (7° а), можно принять, что пе зависит от температуры. Тогда выражение (6), учитыв я (7а), (8а), (9) и (10), запишется в следующем виде:

$$\gamma(t) = w_0(t-\theta) z^n + q(T)(t-\theta)(z-z_0)$$
 (11)

HAH

$$\gamma(t) = w_3(t - \theta)^{-n} + \frac{1 - \frac{1}{2}}{\gamma(T)}(t - \theta) \tag{12}$$

На графике фиг. 16 в качестве примера пунктирными линиями показаны результаты описания семейства кривых полаучести по выражениям (11) и (12).

График кривой зависимости q = f(T) приведен на фиг. 7.

В рассмотренном нами случае зависимость $q=f_3\left(T\right)$ с достаточной точностью подчивяется линейному закону и может быть представлена в следующем виде:

$$q(T) - q(T_0) + k(T - T_0) = 0.000425 + 0.00002(T - 14 C)$$
 (13)

где $q(T_0)$ —относительная скорость течения при минимальном значении температуры; k—коэффициент пропорциональности.

Изменяемость коэффициента вязкости определяется по апалогичному пыражению

$$\tau_i(T) = \frac{1}{\tau_i(T_0) + k_1(T - T_0)}$$
(14)

Резюмируя изложенное выше, можно отметить, что п случае постоянства плотности-влажности грунта в процессе формоизменения (кручения) влияние температуры на ползучесть можно учесть при помощи температурных функций относительной скорости деформации течения q(T) и вязкости q(T) (13, 14).

В заключение следует отметить, что представляет большой интерес исследование влияния температуры на ползучесть водонасыщенных глинистых груптов при различных постоянных и переменных значениях их плотности-влажности и выявление влияния термоуплотнения на процесс формоизменения при различных постоянных значениях температур.

Институт жеханики АН Армянской ССР Ереванский государственный университет Поступила 13 111 1972

U. D. Gengand, if. if hatusend

ԿԱՎԱՑԻՆ ԲԵԱՀՈՂԻ ՍՈՂՔԻ ՀԵՑԱԶՈՑՈՒԲՅՈՒՆԸ ՍԱՀՔԻ ԴԵՊՔՈՒՄ ՋԵՐՄԱՅԻՆ ԱԶԴԵՑՈՒԲՅԱՆ ՀԱՇՎԱՌՈՒՄՈՎ

Շաբագրվում են ոլորման պայմանսկում, օրամայիցված, բնական կաշմվածքի, կավային բնամայի սամբի ձևավախության սողջի հետազատու-Ոլան արդյունջները 7 - - 14 - 21 - 40 %-ի շերմաստիմայի դեպքում։ Պարդված է, որ (անկախ ջերմաստիձանի մեծությունից) շոշափող չարման (ոլորող մոմենաի) մակարդակից կախված սողբի ձևավարտերյուններն ունեն կամ մարող, կամ չմարող բնույթի Սողթի չմարող ձևափոխություններն ընթանում են հաստատուն արադությամբ։ Սահրի հարարհրական ձևափոխությունշոշափող չարում առնչությունները բնորոշում են դծային ամրապնդմամբ օժաված առաձգա-պլաստիկ մարմնի հատկությունները

Սողթի ձևափոխությունները չափվել են օղակաձև նմուշի արտաքին շրջանադծի վրա, իսկ դրանց համապատասխանող շոշափող լարուժները որոշվել են ըստ ոչ գծային առաձգականության տեսության ոլորման խնդրի լուծումից,

Սողքի մարող և չմարող ձևափոխությունները գրանցվել են իրարից առանձին սողքի ժառանգականության տեսության ֆիղիկական առնչություններով։ Ապացուցված է, ոչ շոշափող լարում-Տոսունության արադություն կապը ենթարկվում է Շվեզով-Բինգչամի օրենքին։ Պարզված է, որ ջերմաստիձանը Հիմնականում ազդում է Հռուսնության արադության՝ բնահողի մածուցիկուքյան վրա, որը ջերմաստիձանի փոփոխման ավյալ սահմաններում փոփոխվում է ավելի բան 2.2 անգամ։

INVESTIGATION OF CREEP OF CLAY SOIL UNDER SHEAR, TAKING ACCOUNT OF TEMPERATURE EFFECTS

S. R. MESCHIAN, R. R. GALSTIAN

Summary

The results are presented of investigation on regularities of shear creep in water-saturated clay of natural structure at ± 14 , ± 21 and ± 40 C under torsion.

ЛИТЕРАТУРА

- 1. Месчян С. Р. Длительное сопротивление переуплотиенной глины сдвигу. Изв. АН АрмССР, Механика, т. 19. № 5, 1966.
- 2. Месчян С. Р. Ползучесть глинистых груптов. Изд. АН АржССР, Ериван, 1967.
- 3. Каудерер Г. Нелинейная механика, ИА, М., 1961.
- 4. Надан А. Пластичность и разрушение твердых тел. ИА, М., 1954.
- 5. Качанов Л. М. Теория ползучести. Физматгиз, М., 1960.
- Haefeli R. Creep problems in soils, snow and ice. Proc 3-rd JCOSOMEF, vol. III, Zurich, 1953.
- 7. Шахунянц Г. М. Эсиляное полотно желевных дорог. Трянсжолдориздат, М., 1953.
- 8. Арутюнян Н. Х. Некоторые вопросы теории ползучести. Гостовиядат, М., 1952.